

# Clifford 代数を用いた 水素原子の隠れた対称性の解釈

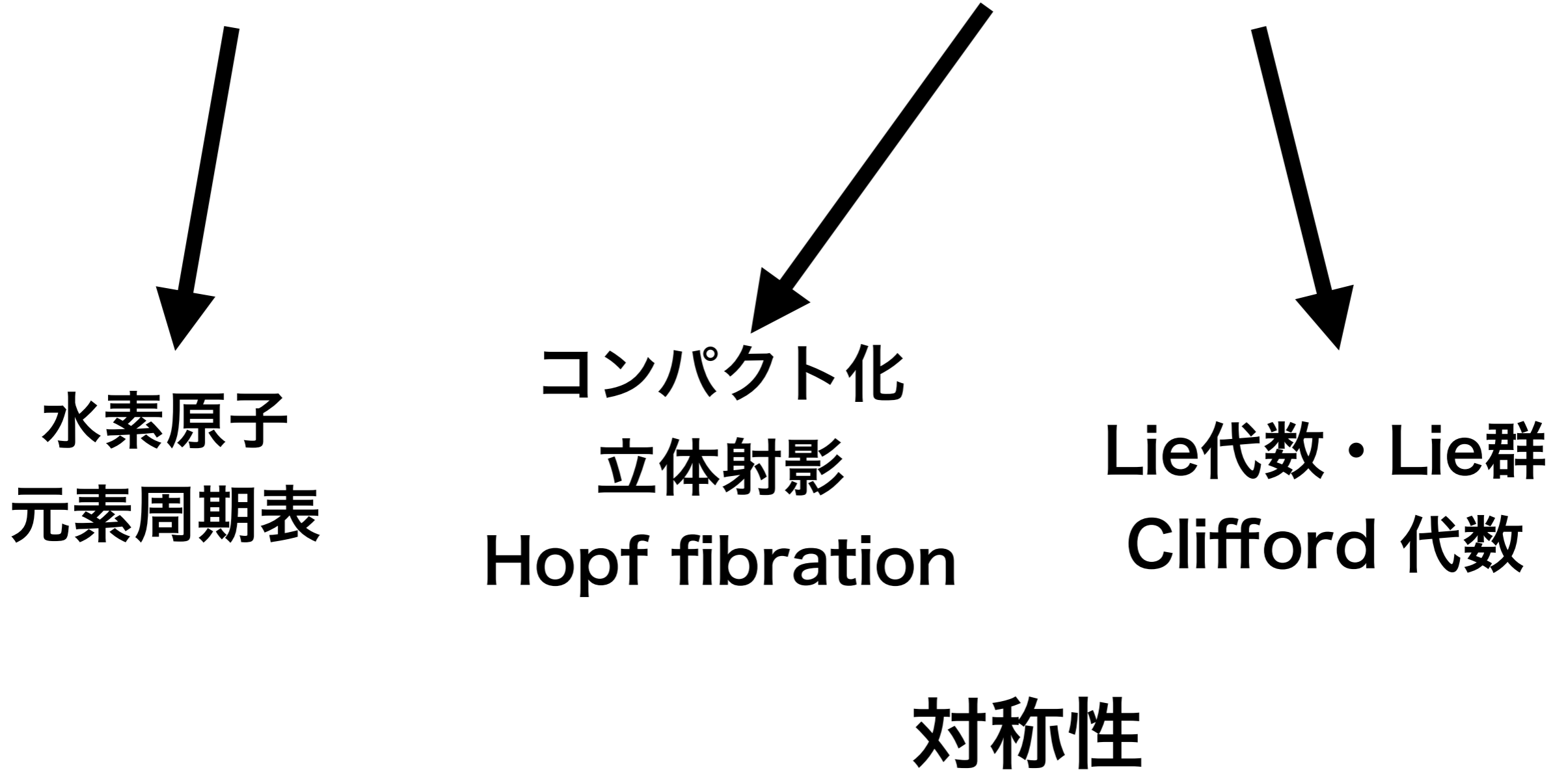
2022年9月9日 9:40-10:40

伊藤祐斗

@材料科学における幾何と代数III

# 本講演のキーワード

## 材料科学における幾何と代数



# 目次

## 1. イントロ：水素原子の隠れた対称性とは？

※非相対論的水素原子の束縛状態に限定します

↓

隠れた対称性を見出す二つの手法

2. コンパクト化  
立体射影

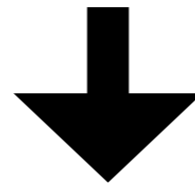
3. 線形化  
Hopf fibration

↓

4. Clifford代数による解釈

# 目次

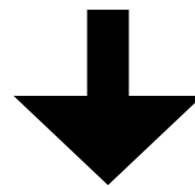
1. イントロ：水素原子の隠れた対称性とは？



隠れた対称性を見出す二つの手法

2. コンパクト化  
立体射影

3. 線形化  
Hopf fibration



4. Clifford代数による解釈

# 球対称な系のエネルギー

球対称性を持つポテンシャルに対する Schrödinger 方程式

$$\left[ -\frac{\hbar^2 \nabla^2}{2m_e} - V(r) \right] \Psi(\mathbf{r}) = E\Psi(\mathbf{r})$$

球極座標において変数分離することが可能であり解は

$$E_{n,l} = n, l \text{ の関数}$$

$$\Psi_{nlm}(r, \theta, \phi) = R_{nl}(r)Y_{lm}(\theta, \phi)$$

$$n, l \geq 0, m = -l, -l+1, \dots, l-1, l$$

と書かれる。  $Y_{lm}$  は球面調和関数,  $R_{nl}$  は動径方向関数 ( $V$  に依存する),

同じエネルギーを持つ状態は複数ある (=縮退) .

縮退数は  $2l+1$ .

# 水素原子のエネルギー

非相対論的水素原子の Schrödinger 方程式は以下である.

$$\left[ -\frac{\hbar^2 \nabla^2}{2m_e} - \frac{\kappa}{r} \right] \Psi(\mathbf{r}) = E\Psi(\mathbf{r}), \quad \kappa = \frac{e^2}{4\pi\epsilon_0}$$

束縛状態のエネルギー ( $< 0$ ) は次のようになる.

$$E_{n,l} = -\frac{1}{2(n+l+1)^2} \frac{\kappa^2 m_e}{\hbar^2}, \quad n, l \geq 0$$

$$\Psi_{nlm}(r, \theta, \phi) = R_{nl}(r) Y_{lm}(\theta, \phi)$$

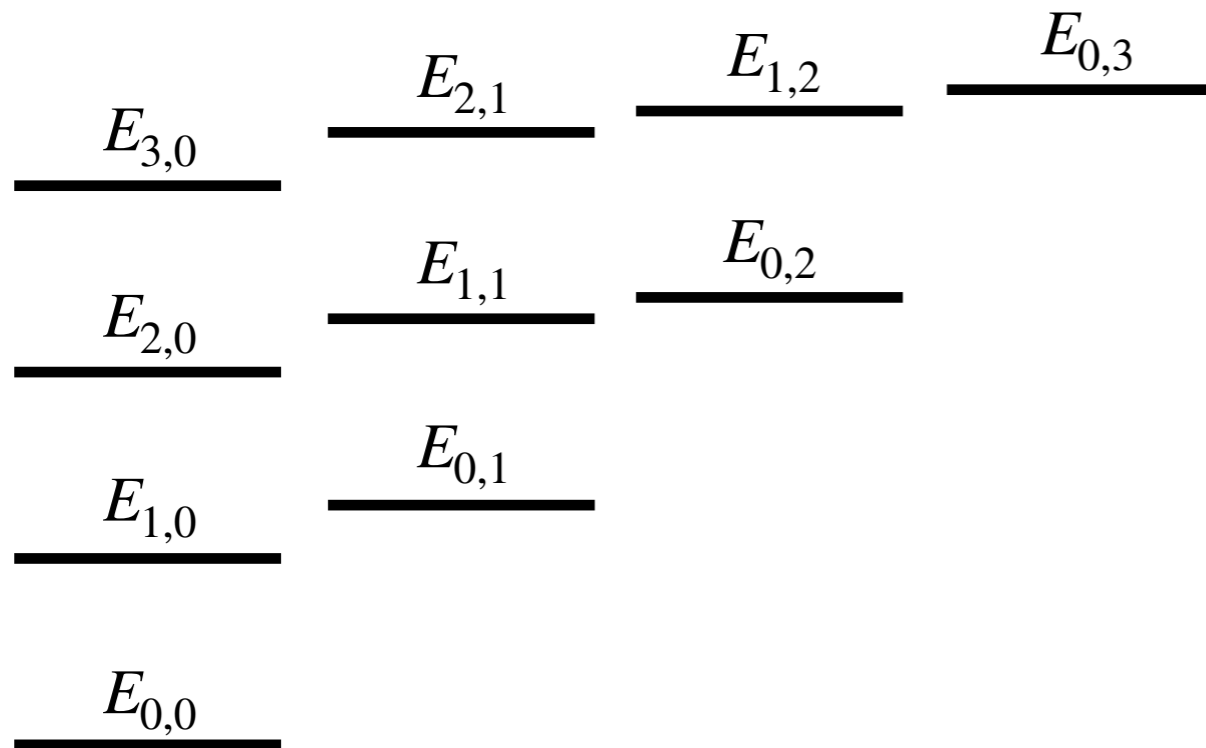
$$m = -l, -l+1, \dots, l-1, l$$

と書かれる.  $R_{nl}$  は Laguerre 陪多項式を用いて書かれる.

# 水素原子における偶然縮退

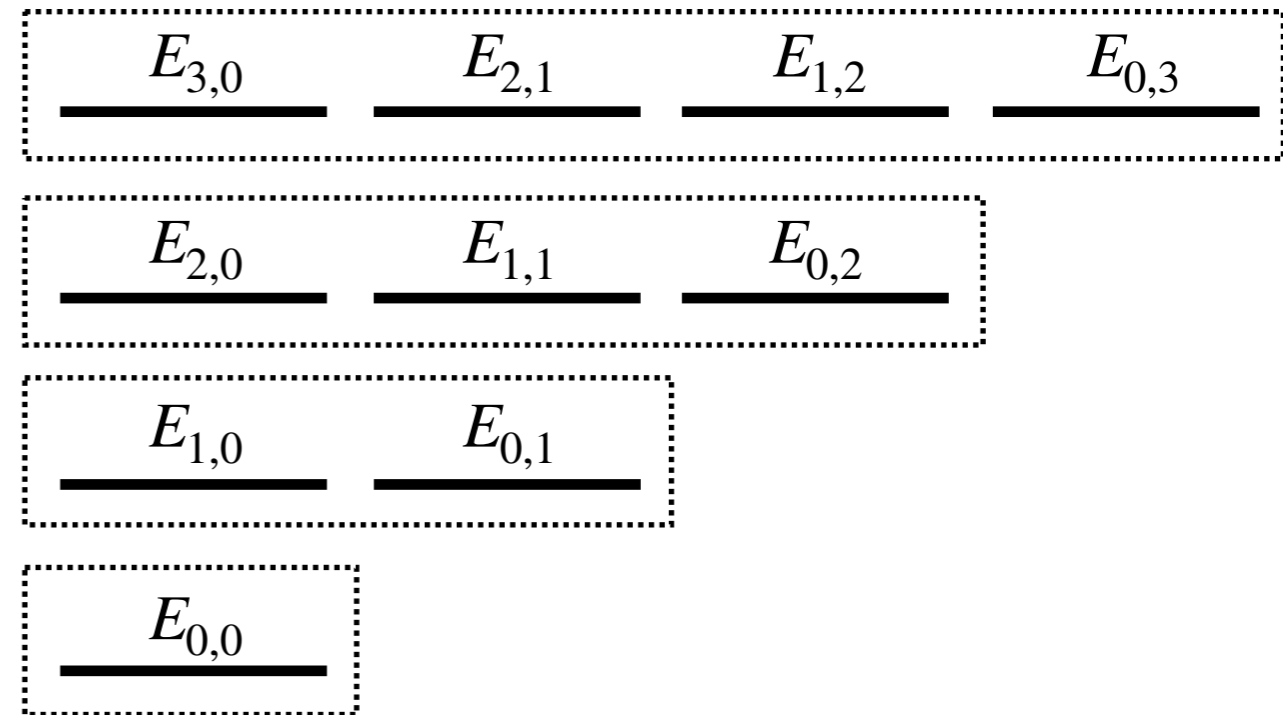
一般の球対称ポテンシャルの場合

$E_{n,l} = n, l$  の関数



水素原子の場合

$$E_{n,l} = -\frac{1}{2(n+l+1)^2} \frac{\kappa^2 m_e}{\hbar^2}, \quad n, l \geq 0$$



水素原子の場合,  $n+l$  が同じならば同じエネルギー (= 縮退) .

球対称性では説明できない高度な縮退 = **偶然縮退**がある.

# どれくらい縮退するか？

水素原子のエネルギーは  $N = n + l + 1$  に依存する.

$$E_{n,l} = -\frac{1}{2(n+l+1)^2} \frac{\kappa^2 m_e}{\hbar^2}, \quad n, l \geq 0, \quad m = -l, -l+1, \dots, l-1, l$$

	l=0 S軌道	l=1 P軌道	l=2 D軌道	l=3 F軌道	l=4 G軌道	縮重度 $N^2$	スピン軌道数 $2N^2$
N=1	1					1	2
N=2	1	3				4	8
N=3	1	3	5			9	18
N=4	1	3	5	7		16	32
N=5	1	3	5	7	9	25	50



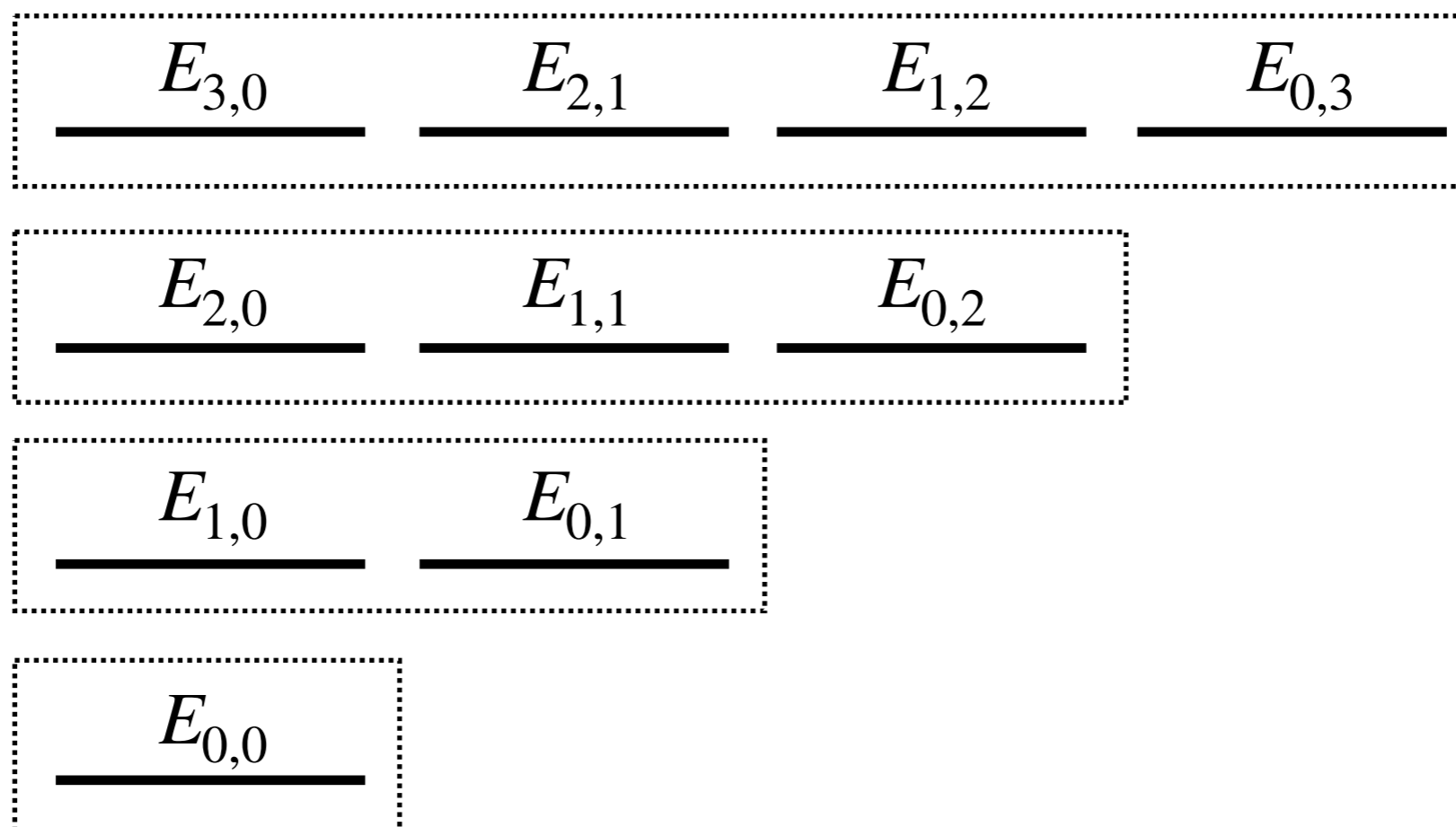


# 隠れた対称性

偶然縮退が生じる理屈は何だろうか？

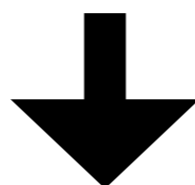
一般には対称性があると縮重度が大きくなる。

球対称性より大きい**隠れた対称性**が示唆される。



# 目次

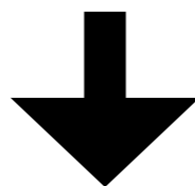
1. イントロ：水素原子の隠れた対称性とは？



隠れた対称性を見出す二つの手法

2. コンパクト化  
立体射影

3. 線形化  
Hopf fibration



4. Clifford代数による解釈

# 角運動量保存則とSO(3)対称性

球対称性を持つポテンシャルに対する Schrödinger 方程式

$$H\Psi = \left[ -\frac{\hbar^2 \nabla^2}{2m_e} - V(r) \right] \Psi(r) = E\Psi(r)$$

角運動量ベクトル

$$\mathbf{L} = \mathbf{r} \times \mathbf{p}$$

$$L_x = \frac{\hbar}{i} \left( x \frac{\partial}{\partial y} - y \frac{\partial}{\partial x} \right)$$

角運動量保存則

$$[H, L_i] = HL_i - L_iH = 0$$

so(3) Lie 代数の生成元となる.

$$[L_i, L_j] = L_iL_j - L_jL_i = i\hbar\epsilon_{ijk}L_k$$

# LRL ベクトル保存則と?対称性

水素原子に対する Schrödinger 方程式

$$H\Psi = \left[ -\frac{\hbar^2 \nabla^2}{2m_e} - \frac{\kappa}{r} \right] \Psi(\mathbf{r}) = E\Psi(\mathbf{r})$$

LRL ベクトル

$$\mathbf{M} = \frac{1}{2m_e}(\mathbf{p} \times \mathbf{L} - \mathbf{L} \times \mathbf{p}) - \frac{\kappa \mathbf{r}}{r}$$

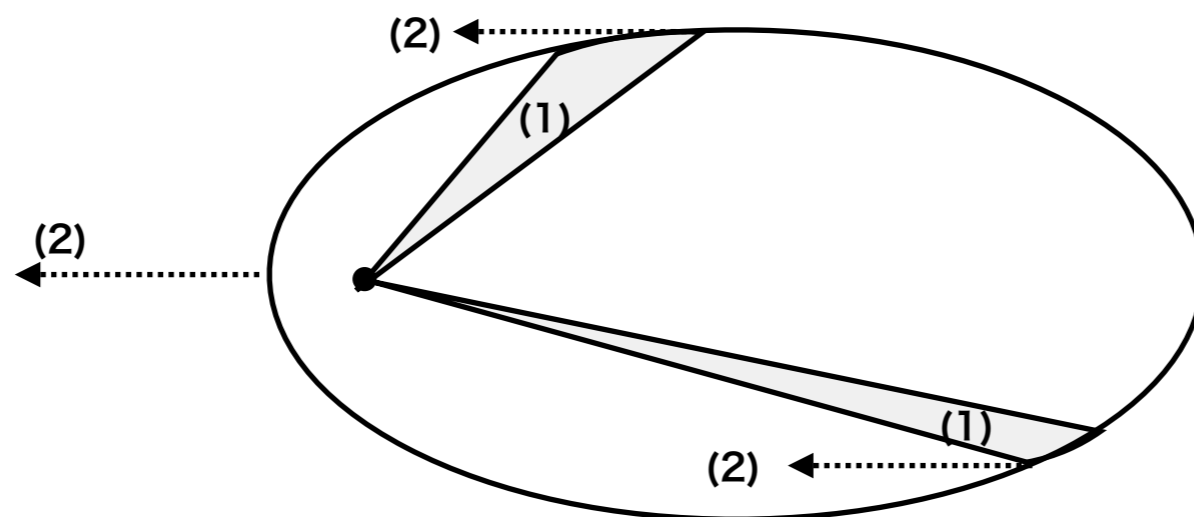
LRLベクトル保存則

$$[H, M_i] = HM_i - M_iH = 0$$

これらは有限次元 Lie 代数とはならない.

$$[L_i, L_j] = i\hbar\epsilon_{ijk}L_k, \quad [M_i, L_j] = i\hbar\epsilon_{ijk}M_k, \quad [M_i, M_j] = -i\hbar\frac{2H}{m_e}\epsilon_{ijk}L_k$$

# 保存則の古典力学的解釈



## (1) 角運動量保存則の意味

- ・ 方向：運動する平面の法線方向，大きさ：面積速度に比例  
→ **運動する平面が不変，面積速度が一定。**
- ・ 三成分の保存はエネルギー保存と独立な情報

## (2) LRLベクトル保存則の意味

- ・ 方向：原点から近日点を指す向き，大きさ：離心率と比例 ( $M = e\kappa$ )  
→ **近日点が不変，離心率が一定。**
- ・ 特に「近日点が不変」は角運動量及びエネルギー保存と独立な情報

トータルで5つの独立な保存量 → 最大超可積分系の代表例

# 水素原子に潜むso(4)対称性

エネルギー  $E < 0$  の部分空間に制限  $\rightarrow$  演算子  $H$  をスカラー  $E$  と見なせる。  
添字に対して反対称となる形式的な記号

$$L_{23} = \frac{L_1}{i\hbar}, L_{31} = \frac{L_2}{i\hbar}, L_{12} = \frac{L_3}{i\hbar}, L_{14} = \frac{\tilde{M}_1}{i\hbar}, L_{24} = \frac{\tilde{M}_2}{i\hbar}, L_{34} = \frac{\tilde{M}_3}{i\hbar}$$

$$\text{但し, } \tilde{M} = M \sqrt{\frac{m_e}{-2E}}$$

を導入すると,

$$\left[ L_{\mu\nu}, L_{\sigma\rho} \right] = \delta_{\mu\sigma} L_{\nu\rho} + \delta_{\nu\rho} L_{\mu\sigma} - \delta_{\mu\rho} L_{\nu\sigma} - \delta_{\nu\sigma} L_{\mu\rho}$$

となるが, これは **Lie 代数 so(4)** を成すことを表す。

**力学的対称性, 隠れた対称性,** 等と呼ばれることがある。

# 立体射影とコンパクト化

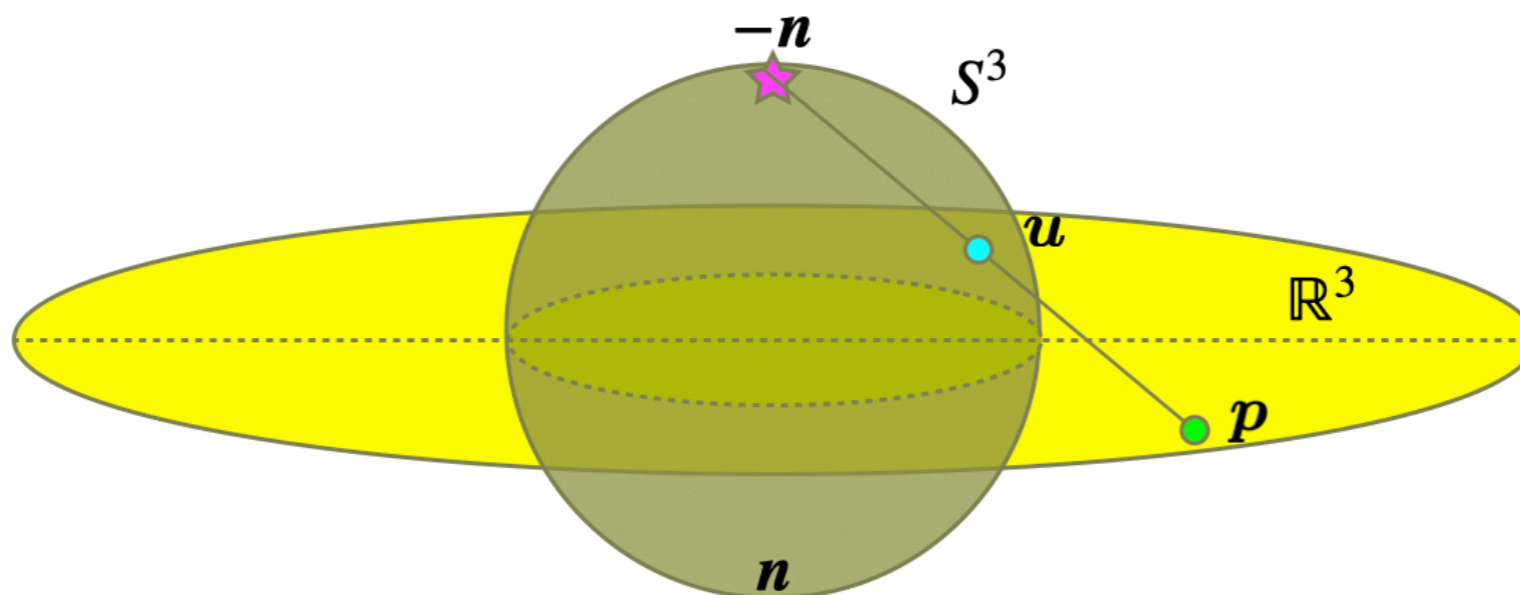
水素原子の Schrödinger 方程式を運動量空間で書くと積分方程式になる。

$$\frac{1}{(\mathbf{p}^2 + p_0^2)} \frac{m_e \kappa}{\pi^2 \hbar} \int_{\mathbb{R}^3} d\mathbf{p}' \frac{\tilde{\psi}(\mathbf{p}')}{|\mathbf{p} - \mathbf{p}'|^2} = \tilde{\psi}(\mathbf{p}), \quad p_0^2 = -2m_e E < 0$$

立体射影変換でコンパクト多様体である超球面  $S^3$  上の積分方程式となる。

$$\mathbf{u} = \frac{p_0^2 - \mathbf{p}^2}{p_0^2 + \mathbf{p}^2} \mathbf{n} + \frac{2p_0}{p_0^2 + \mathbf{p}^2} \mathbf{p}, \quad \tilde{\Psi}(\mathbf{u}) = \sqrt{\frac{2\pi^2}{p_0}} \left( \frac{p_0^2 + \mathbf{p}^2}{2p_0} \right)^2 \tilde{\psi}(\mathbf{p}), \quad G(\mathbf{x}) = \frac{1}{4\pi^2 |\mathbf{x}|^2}$$

$$\tilde{\Psi}(\mathbf{u}) = \frac{2m_e \kappa}{p_0 \hbar} \int_{S^3} d\Omega(\mathbf{u}') \tilde{\Psi}(\mathbf{u}') G(\mathbf{u} - \mathbf{u}')$$





# 超球面 $S^3$ 上自由粒子との等価性

積分核  $G(\mathbf{x}) = \left(4\pi^2 |\mathbf{x}|^2\right)^{-1}$  の正体は  $S^3$  上自由粒子の Green 関数.

$$\Delta_{S^3} G(\mathbf{u} - \mathbf{u}') = -\delta(\mathbf{u} - \mathbf{u}')|_{S^3}$$

ここで  $\Delta_{S^3}$  は  $S^3$  上の Laplace-Beltrami 作用素.

$$\Delta_{\mathbb{R}^4} = \frac{1}{u^3} \frac{\partial}{\partial u} \left( u^3 \frac{\partial}{\partial u} \right) + \frac{\Delta_{S^3}}{u^2}$$

Stokesの定理等より,  **$S^3$  上の自由粒子の Schrödinger 方程式**に帰着.

$$\Delta_{S^3} \tilde{\Psi}(\mathbf{u}) = \Lambda \tilde{\Psi}(\mathbf{u})$$

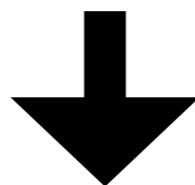
Laplace-Beltrami 作用素  $\Delta_{S^3}$  と前述の  $L_{\mu\nu}$  の関係

$$\Delta_{S^3} = \sum_{1 \leq \mu < \nu \leq 4} \tilde{L}_{\mu\nu}^2, \quad (p_0^2 + p^2)^{-2} \tilde{L}_{\mu\nu} (p_0^2 + p^2)^2 = L_{\mu\nu}$$

$\tilde{L}_{\mu\nu}$  は変換後の空間  $\mathbb{R}^4$  あるいは  $S^3$  の回転生成子である.

# 目次

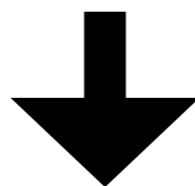
1. イントロ：水素原子の隠れた対称性とは？



隠れた対称性を見出す二つの手法

2. コンパクト化  
立体射影

3. 線形化  
Hopf fibration



4. Clifford代数による解釈

# 線形化の歴史

## ■ 天体力学が起源

- ・古くは Euler が 1 次元上の 3 体問題の解析に使った. (18C)
- ・時間・空間の変数変換により力の発散を取り除く. (正則化)
- ・調和振動子の運動方程式に変換される. (線形化)

## ■ 2次元バージョンの発見 (19C~20C前半)

- ・Goursat, Bohlin, Levi-Civita らによる
- ・共形変換の一種を用いることで 2D Kepler  $\rightarrow$  2D 調和振動子

## ■ 高次元化の取り組み (20C中盤まで)

- ・長らく 3次元バージョンは見つからず.
- ・3D Kepler  $\rightarrow$  3D 調和振動子 は可能?

# Kustaanheimo-Stiefel 変換 <sup>20</sup>

1960s に発明された 3次元バージョン.

Kustaanheimo-Stiefel (KS) 変換は三次元を四次元に埋め込む変換.

$$\Phi_{KS} : \mathbb{R}^3 \times S^1 \rightarrow \mathbb{R}^4 : (x_1, x_2, x_3, \sigma) \mapsto (q_1, q_2, q_3, q_4)$$

$$x_1 = r \cos \theta$$

$$x_2 = r \sin \theta \cos \phi$$

$$x_3 = r \sin \theta \sin \phi$$

$$r > 0, 0 \leq \theta \leq \pi, 0 \leq \phi < 2\pi, 0 \leq \sigma < 4\pi$$

球極座標

$$q_1 = \sqrt{r} \cos \left( \frac{\theta}{2} \right) \cos \left( \frac{\sigma + \phi}{2} \right)$$

$$q_2 = \sqrt{r} \cos \left( \frac{\theta}{2} \right) \sin \left( \frac{\sigma + \phi}{2} \right)$$

$$q_3 = \sqrt{r} \sin \left( \frac{\theta}{2} \right) \cos \left( \frac{\sigma - \phi}{2} \right)$$

$$q_4 = \sqrt{r} \sin \left( \frac{\theta}{2} \right) \sin \left( \frac{\sigma - \phi}{2} \right)$$

Cylindrical 座標

Euler の四次元座標

# どんな変換か？

$r = 1, \theta = 0, \sigma = 0$  で固定して考える

$$x_1 = 0$$

$$x_2 = \cos \phi$$

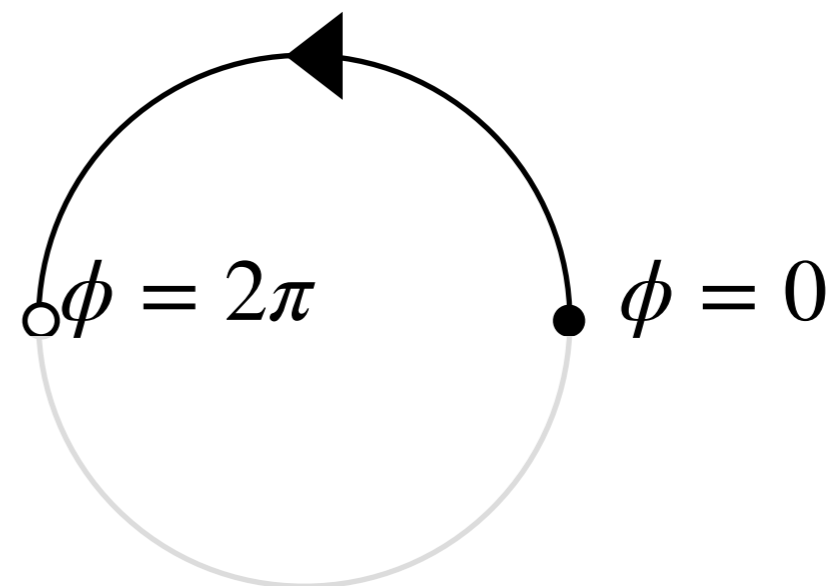
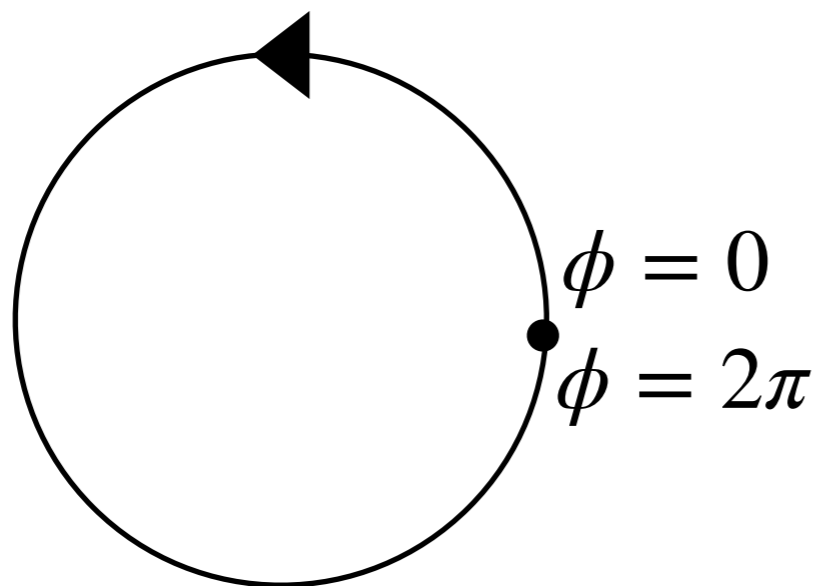
$$x_3 = \sin \phi$$

$$q_1 = \cos \left( \frac{+\phi}{2} \right)$$

$$q_2 = \sin \left( \frac{+\phi}{2} \right)$$

$$q_3 = \cos \left( \frac{-\phi}{2} \right)$$

$$q_4 = \sin \left( \frac{-\phi}{2} \right)$$



一周しても戻れない，戻るには二周する必要。

# Hopf fibration

KS変換 (の  $r = 1$  への制限)  $\Phi_{KS}|_{r=1} : S^2 \times S^1 \rightarrow S^3$  は **ねじれ** がある

$S^2 \times S^1$  と  $S^3$  は局所的には似ているが全体としては異なることを示唆.

→ こういった状況を記述するのが **ファイバー束**

$$\text{Hopf fibration: } S^1 \hookrightarrow S^3 \rightarrow S^2$$

ファイバー, ファイバー束, 底空間

球面  $S^2$  の各点に円周  $S^1$  があるが, それらがねじれて繋がっている

※ Hopf fibrationにはファミリーがある.

$$S^0 \hookrightarrow S^1 \rightarrow S^1 \leftarrow \text{Levi-Civita 変換に相当}$$

$$S^3 \hookrightarrow S^7 \rightarrow S^4 \leftarrow \text{5次元水素原子-8次元調和振動子対応}$$

$$S^7 \hookrightarrow S^{15} \rightarrow S^8 \leftarrow \text{9次元水素原子-16次元調和振動子対応}$$

# $\mathbb{R}^4$ 上調和振動子との等価性

水素原子 Schrödinger 方程式

$$H\Psi(\mathbf{r}) = \left[ -\frac{\hbar^2 \nabla^2}{2m_e} - \frac{\kappa}{r} \right] \Psi(\mathbf{r}) = E\Psi(\mathbf{r})$$

に対して変数  $k = -\frac{8m_e E}{\hbar^2}$ ,  $\lambda = \frac{8m_e \kappa}{\hbar^2}$  を導入して KS 変換を行うと,

4次元調和振動子の Schrödinger 方程式に帰着する.

$$\left[ -\nabla_{\mathbf{q}}^2 + kq^2 \right] \Psi(\mathbf{q}) = \lambda\Psi(\mathbf{q})$$

波動関数が  $\sigma$  に陽によらないという拘束条件から以下の式も成立する.

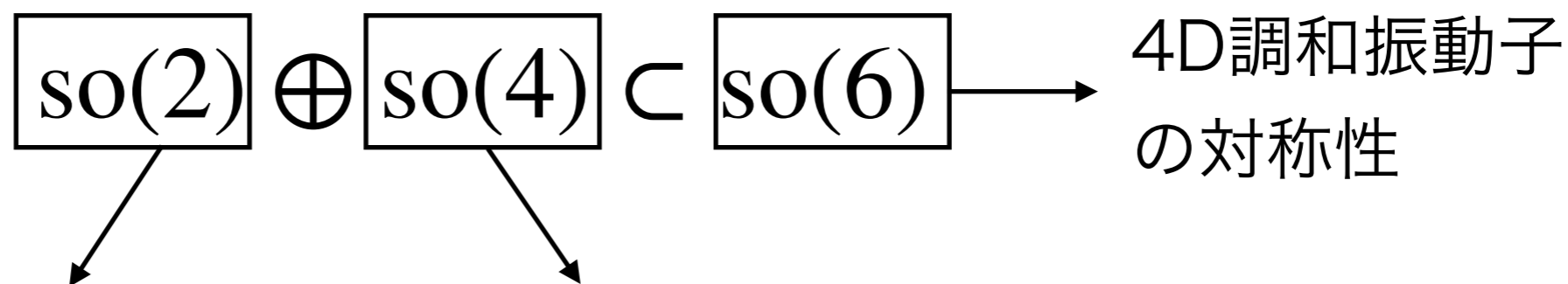
$$\left( q_1 \frac{\partial}{\partial q_2} - q_2 \frac{\partial}{\partial q_1} + q_3 \frac{\partial}{\partial q_4} - q_4 \frac{\partial}{\partial q_3} \right) \Psi(\mathbf{q}) = 0$$

# SO(4) 対称性は何処にあるか？<sup>24</sup>

四次元調和振動子のSchrödinger方程式

$$\left[-\nabla_{\mathbf{q}}^2 + kq^2\right] \Psi(\mathbf{r}) = \lambda\Psi(\mathbf{q})$$

の対称性は  $su(4) \simeq so(6)$  である (n次元調和振動子は  $su(n)$ ) .



拘束条件の生成元

$$q_1 \frac{\partial}{\partial q_2} - q_2 \frac{\partial}{\partial q_1} + q_3 \frac{\partial}{\partial q_4} - q_4 \frac{\partial}{\partial q_3}$$

からなる部分 Lie 代数

拘束条件の生成元と可換な演算子  
(中心元) からなる部分 Lie 代数

**水素原子の対称性に相当する**



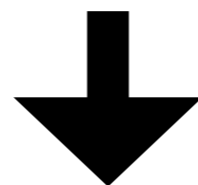
# 二つの手法の比較

手法	コンパクト化	線形化
舞台	運動量空間	位置空間
幾何学	立体射影変換	<b>Hopf fibration</b>
行先	$S^3$	$\mathbb{R}^4$
帰着するモデル	自由粒子	調和振動子

両手法ともに低次元空間から高次元を発想する手法である。  
**そもそもなぜ高次元発想の仕組みを解釈したい**

# 目次

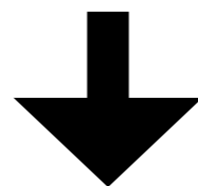
1. イントロ：水素原子の隠れた対称性とは？



隠れた対称性を見出す二つの手法

2. コンパクト化  
立体射影

3. 線形化  
Hopf fibration



4. Clifford代数による解釈

# Clifford代数とは

■ 内積空間  $\mathbb{R}^n$

↓  
(反対称テンソル代数)  
↓

$e_1, e_2, \dots, e_n, \langle e_i, e_j \rangle = \delta_{ij}$  (正規直交基底)

# Clifford代数とは

## ■ 内積空間 $\mathbb{R}^n$

↓  
(反対称テンソル代数)  $e_1, e_2, \dots, e_n, \langle e_i, e_j \rangle = \delta_{ij}$  (正規直交基底)

## ■ 外積代数 $\wedge(\mathbb{R}^n)$

↓  
(量子化)  $\{e_{i_1}e_{i_2}\cdots e_{i_k} \mid 0 \leq k \leq n, 1 \leq i_1 \leq i_2 \leq \cdots \leq i_k \leq n\}$  を基底とする線形空間

$$e_i e_j = -e_j e_i \quad (i \neq j) \quad (\text{反対称性})$$

# Clifford代数とは

## ■ 内積空間 $\mathbb{R}^n$

↓  
(反対称テンソル代数)  $e_1, e_2, \dots, e_n, \langle e_i, e_j \rangle = \delta_{ij}$  (正規直交基底)

## ■ 外積代数 $\wedge(\mathbb{R}^n)$

↓  
(量子化)  $\{e_{i_1}e_{i_2}\cdots e_{i_k} \mid 0 \leq k \leq n, 1 \leq i_1 \leq i_2 \leq \cdots \leq i_k \leq n\}$  を基底とする線形空間  
 $e_i e_j = -e_j e_i$  ( $i \neq j$ ) (反対称性)

## ■ Clifford 代数 $Cl_n$

線形空間としては外積代数と同型 ( $\mathbb{R}$  上代数としては異なる)

$$e_i^2 = -\langle e_i, e_i \rangle = -1 \text{ を課す (量子化)}$$

# Clifford代数とは

## ■ 内積空間 $\mathbb{R}^n$

↓  
(反対称テンソル代数)  $e_1, e_2, \dots, e_n, \langle e_i, e_j \rangle = \delta_{ij}$  (正規直交基底)

## ■ 外積代数 $\wedge(\mathbb{R}^n)$

↓  
(量子化)  $\{e_{i_1}e_{i_2}\cdots e_{i_k} \mid 0 \leq k \leq n, 1 \leq i_1 \leq i_2 \leq \cdots \leq i_k \leq n\}$  を基底とする線形空間  
 $e_i e_j = -e_j e_i$  ( $i \neq j$ ) (反対称性)

## ■ Clifford 代数 $Cl_n$

線形空間としては外積代数と同型 ( $\mathbb{R}$  上代数としては異なる)

$$e_i^2 = -\langle e_i, e_i \rangle = -1 \text{ を課す (量子化)}$$

**内積・外積が代数の内部演算に組み込まれている (cf.  $\langle e_i, e_j \rangle \in Cl_n$ )**

→ 面積・体積・回転, といった幾何学的な量・操作を統一的に扱える

# Clifford代数の例

■ 例1  $Cl_1 \simeq \mathbb{C}$  (複素数体との  $\mathbb{R}$  上代数同型)

基底：0重ベクトル  $1$ , 1重ベクトル  $e_1$  に対して,

$$e_1^2 = -1 \text{ (量子化の式)}$$

が成立する.

例えば, 以下のようにとると矛盾がない.

$$e_1 = i \text{ (} i \text{ は } \mathbb{C} \text{ の虚数単位元)}$$

# Clifford代数の例

■ 例1  $Cl_1 \simeq \mathbb{C}$  (複素数体との  $\mathbb{R}$  上代数同型)

基底：0重ベクトル  $1$ , 1重ベクトル  $e_1$  に対して,

$$e_1^2 = -1 \quad (\text{量子化の式})$$

が成立する.

例えば, 以下のようにとると矛盾がない.

$$e_1 = i \quad (i \text{ は } \mathbb{C} \text{ の虚数単位元})$$

■ 例2  $Cl_2 \simeq \mathbb{H}$  (四元数体との  $\mathbb{R}$  上代数同型)

基底：0重ベクトル  $1$ , 1重ベクトル  $e_1, e_2$ , 2重ベクトル  $e_1e_2$  に対して,

$$e_1^2 = e_2^2 = -1, (e_1e_2)^2 = e_1e_2e_1e_2 = -e_1^2e_2^2 = -1 \quad (\text{量子化の式})$$

が成立する.

例えば, 以下のようにとると矛盾がない.

$$e_1 = i, e_2 = j, e_1e_2 = k \quad (i, j, k \text{ は } \mathbb{H} \text{ の虚数単位元})$$



# $\mathbb{R}$ 上代数同型のまとめ

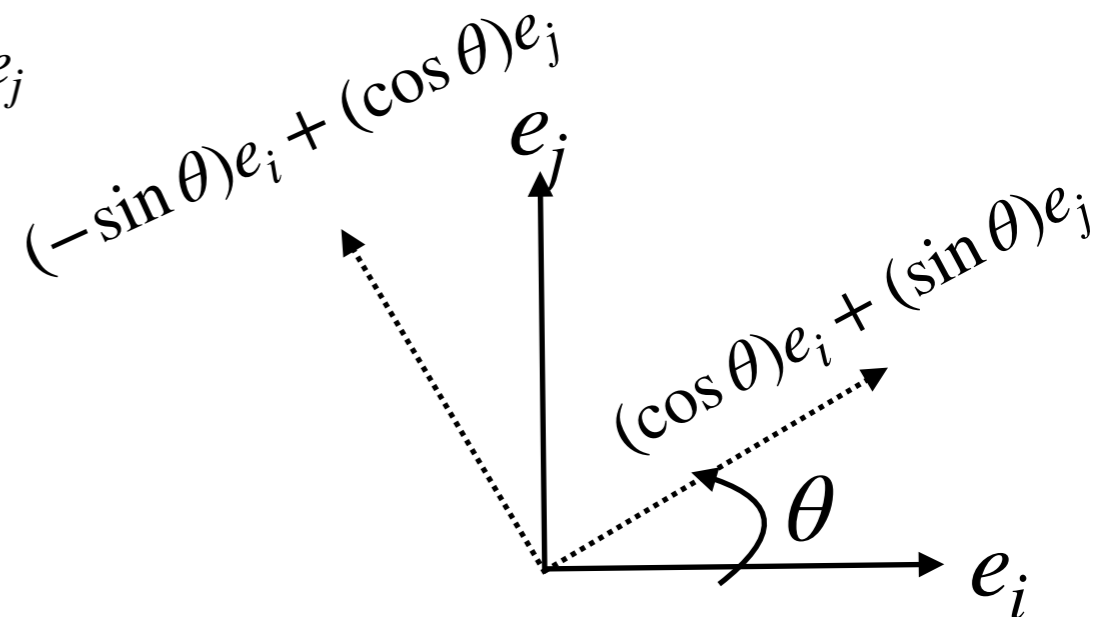
Clifford 代数	同型な代数
$Cl_0$	$\mathbb{R}$
$Cl_1$	$\mathbb{C}$
$Cl_2$	$\mathbb{H}$
$Cl_3$	$\mathbb{H} \oplus \mathbb{H}$
$Cl_4$	$\mathbb{H}(2)$
$Cl_5$	$\mathbb{C}(4)$
$Cl_6$	$\mathbb{R}(8)$
$Cl_7$	$\mathbb{R}(8) \oplus \mathbb{R}(8)$
$Cl_8$	$\mathbb{R}(16)$

# 代表的な応用：回転の表現

Euler の式の拡張  $\exp\left(\theta \frac{e_i e_j}{2}\right) = \cos \frac{\theta}{2} + e_i e_j \sin \frac{\theta}{2}$  を用いて回転を表現できる.

$$\begin{aligned} \exp\left(\theta \frac{e_i e_j}{2}\right) e_i \exp\left(-\theta \frac{e_i e_j}{2}\right) &= \left(\cos \frac{\theta}{2} + e_i e_j \sin \frac{\theta}{2}\right) e_i \left(\cos \frac{\theta}{2} - e_i e_j \sin \frac{\theta}{2}\right) \\ &= \left(\cos^2 \frac{\theta}{2} - \sin^2 \frac{\theta}{2}\right) e_i + \left(2 \sin \frac{\theta}{2} \cos \frac{\theta}{2}\right) e_j \\ &= (\cos \theta) e_i + (\sin \theta) e_j \end{aligned}$$

$$\exp\left(\theta \frac{e_i e_j}{2}\right) e_j \exp\left(-\theta \frac{e_i e_j}{2}\right) = (-\sin \theta) e_i + (\cos \theta) e_j$$



1重ベクトル  $e_i$  は  $n$  次元ベクトル

2重ベクトル  $e_i e_j$  は  $n$  次元空間の回転生成子 (  $so(n)$  を構成)

$\exp(e_i e_j / 2)$  の随伴表現は  $n$  次元空間の回転表現 (  $SO(n)$  を構成)

# Clifford 代数における高次元化<sup>35</sup>

$Cl_3$  を考える.

2重ベクトルたち :  $L_{23} = \frac{1}{2}e_2e_3, L_{31} = \frac{1}{2}e_3e_1, L_{12} = \frac{1}{2}e_1e_2$

$$\left[ L_{\mu\nu}, L_{\sigma\rho} \right] = \delta_{\mu\sigma}L_{\nu\rho} + \delta_{\nu\rho}L_{\mu\sigma} - \delta_{\mu\rho}L_{\nu\sigma} - \delta_{\nu\sigma}L_{\mu\rho}, \quad 1 \leq \mu, \nu, \sigma, \rho \leq 3$$

$so(3)$  を構成する.

# Clifford 代数における高次元化<sup>36</sup>

$Cl_3$  を考える.

$$\text{2重ベクトルたち} : L_{23} = \frac{1}{2}e_2e_3, L_{31} = \frac{1}{2}e_3e_1, L_{12} = \frac{1}{2}e_1e_2$$

$$\left[ L_{\mu\nu}, L_{\sigma\rho} \right] = \delta_{\mu\sigma}L_{\nu\rho} + \delta_{\nu\rho}L_{\mu\sigma} - \delta_{\mu\rho}L_{\nu\sigma} - \delta_{\nu\sigma}L_{\mu\rho}, \quad 1 \leq \mu, \nu, \sigma, \rho \leq 3$$

$so(3)$  を構成する.

$$\text{1重ベクトルたち} : L_{14} = \frac{1}{2}e_1, L_{24} = \frac{1}{2}e_2, L_{34} = \frac{1}{2}e_3$$

を加えると,

$$\left[ L_{\mu\nu}, L_{\sigma\rho} \right] = \delta_{\mu\sigma}L_{\nu\rho} + \delta_{\nu\rho}L_{\mu\sigma} - \delta_{\mu\rho}L_{\nu\sigma} - \delta_{\nu\sigma}L_{\mu\rho}, \quad 1 \leq \mu, \nu, \sigma, \rho \leq 4$$

$so(4)$  を構成する.

**一段高い回転を表現可能.**

# 水素原子 $so(4)$ のおさらい

角運動量 :  $L = \mathbf{r} \times \mathbf{p}$ ,  $L_{23} = \frac{L_1}{i\hbar}$ ,  $L_{31} = \frac{L_2}{i\hbar}$ ,  $L_{12} = \frac{L_3}{i\hbar}$

$$\left[ L_{\mu\nu}, L_{\sigma\rho} \right] = \delta_{\mu\sigma} L_{\nu\rho} + \delta_{\nu\rho} L_{\mu\sigma} - \delta_{\mu\rho} L_{\nu\sigma} - \delta_{\nu\sigma} L_{\mu\rho}, \quad 1 \leq \mu, \nu, \sigma, \rho \leq 3$$

$so(3)$ を構成する.

# 水素原子 $so(4)$ のおさらい

角運動量 :  $L = \mathbf{r} \times \mathbf{p}$ ,  $L_{23} = \frac{L_1}{i\hbar}$ ,  $L_{31} = \frac{L_2}{i\hbar}$ ,  $L_{12} = \frac{L_3}{i\hbar}$

$$[L_{\mu\nu}, L_{\sigma\rho}] = \delta_{\mu\sigma}L_{\nu\rho} + \delta_{\nu\rho}L_{\mu\sigma} - \delta_{\mu\rho}L_{\nu\sigma} - \delta_{\nu\sigma}L_{\mu\rho}, \quad 1 \leq \mu, \nu, \sigma, \rho \leq 3$$

$so(3)$ を構成する.

LRLベクトル :  $\tilde{M} = \sqrt{\frac{m_e}{-2E}} \left[ \frac{1}{2m_e} (\mathbf{p} \times \mathbf{L} - \mathbf{L} \times \mathbf{p}) - \frac{\kappa \mathbf{r}}{r} \right]$

$$L_{14} = \frac{\tilde{M}_1}{i\hbar}, \quad L_{24} = \frac{\tilde{M}_2}{i\hbar}, \quad L_{34} = \frac{\tilde{M}_3}{i\hbar}$$

を導入すると,

$$[L_{\mu\nu}, L_{\sigma\rho}] = \delta_{\mu\sigma}L_{\nu\rho} + \delta_{\nu\rho}L_{\mu\sigma} - \delta_{\mu\rho}L_{\nu\sigma} - \delta_{\nu\sigma}L_{\mu\rho}$$

となるが, これは **Lie 代数  $so(4)$**  を成すことを表す.

**一段高い次元に持ち上がるのが立体射影と関係.**

# 水素原子 $so(4)$ とClifford代数 $Cl_3$ の対応 39

## ■ 水素原子における $so(4)$

空間反転に対する振る舞いの異なる三次元空間の物理量,

$L = r \times p$  は「**極性ベクトル**」 (空間反転で奇)

$M = \frac{1}{2m_e}(p \times L - L \times p) - \frac{\hbar r}{r}$  は「**軸性ベクトル**」 (空間反転で偶)

これらを混合することで高次元の代数  $so(4)$  の構造が見えてきた.

## ■ Clifford 代数 $Cl_3$

空間反転に対する振る舞いの異なる元

1重ベクトル  $e_1, e_2, e_3$  は「**極性ベクトル**」 (空間反転で奇)

2重ベクトル  $e_1e_2, e_2e_3, e_3e_1$  は「**軸性ベクトル**」 (空間反転で偶)

を混合した演算が可能である.


これらを混合することで高次元の代数  $so(4)$  の構造が見えてきた.

# Clifford 代数を用いたHopf fibration 40

$Cl_2 \simeq \mathbb{H}$  のノルム1の要素の集合は  $S^3$  と見做せる.

この要素は,

$$\begin{aligned} Q &= \exp(-\psi k) \left( \sin \frac{\theta}{2} \cos \phi i + \sin \frac{\theta}{2} \sin \phi j + \cos \frac{\theta}{2} k \right) \\ &= \sin \psi \cos \frac{\theta}{2} + \cos(\phi - \psi) \sin \frac{\theta}{2} i + \sin(\phi - \psi) \sin \frac{\theta}{2} j + \cos \psi \cos \frac{\theta}{2} k \\ &\quad 0 \leq \psi \leq 2\pi, 0 \leq \phi \leq 2\pi, 0 \leq \theta \leq \pi \end{aligned}$$

Euler の四次元座標  


と書ける.



# Clifford 代数を用いたHopf fibration 41

$Cl_2 \simeq \mathbb{H}$  のノルム1の要素の集合は  $S^3$  と見做せる.

この要素は,

$$\begin{aligned} Q &= \exp(-\psi k) \left( \sin \frac{\theta}{2} \cos \phi i + \sin \frac{\theta}{2} \sin \phi j + \cos \frac{\theta}{2} k \right) \\ &= \sin \psi \cos \frac{\theta}{2} + \cos(\phi - \psi) \sin \frac{\theta}{2} i + \sin(\phi - \psi) \sin \frac{\theta}{2} j + \cos \psi \cos \frac{\theta}{2} k \\ &\quad 0 \leq \psi \leq 2\pi, 0 \leq \phi \leq 2\pi, 0 \leq \theta \leq \pi \end{aligned}$$

Euler の四次元座標

と書ける.

$$\begin{aligned} \bar{Q}kQ &= - \left( \sin \frac{\theta}{2} \cos \phi i + \sin \frac{\theta}{2} \sin \phi j + \cos \frac{\theta}{2} k \right) k \left( \sin \frac{\theta}{2} \cos \phi i + \sin \frac{\theta}{2} \sin \phi j + \cos \frac{\theta}{2} k \right) \\ &= \sin \theta \cos \phi i + \sin \theta \sin \phi j + \cos \theta k \longrightarrow \text{三次元極座標} \\ &\quad 0 \leq \phi \leq 2\pi, 0 \leq \theta \leq \pi \end{aligned}$$

を考えると, これの全体は  $S^2$  と見做せる.

写像  $f(Q) = \bar{Q}kQ$  は  $S^3$  から  $S^2$  への写像と見做せる.

さらに  $\text{Ker}(f) = S^1$  より, Hopf fibration と見做せる.

# スピン群による Hopf fibration の解釈 <sup>42</sup>

$Cl_2 \simeq \mathbb{H}$  では 1~3次元のスピン群を考えることができる.

$$G = \text{Spin}(3) = \{h \in \mathbb{H} \mid |h| = 1\} \simeq \text{SU}(2) \simeq S^3$$

$$H = \text{Spin}(2) = \{e^{kt} \mid 0 \leq t < 2\pi\} \simeq \text{U}(1) \simeq S^1$$

$$K = \text{Spin}(1) = \{1, -1\} \simeq \text{O}(1) \simeq \mathbb{Z}_2$$

$G$  は  $e_1, e_2, e_1e_2$  より生成,  $H$  は  $e_1e_2$  より生成.

# スピン群による Hopf fibration の解釈 43

$Cl_2 \simeq \mathbb{H}$  では 1~3次元のスピン群を考えることができる。

$$G = \text{Spin}(3) = \{h \in \mathbb{H} \mid |h| = 1\} \simeq \text{SU}(2) \simeq S^3$$

$$H = \text{Spin}(2) = \{e^{kt} \mid 0 \leq t < 2\pi\} \simeq \text{U}(1) \simeq S^1$$

$$K = \text{Spin}(1) = \{1, -1\} \simeq \text{O}(1) \simeq \mathbb{Z}_2$$

$G$  は  $e_1, e_2, e_1e_2$  より生成,  $H$  は  $e_1e_2$  より生成.

ここで,

微分同相

$$G \geq H \geq K, G \triangleright K, H \triangleright K \Rightarrow G/K \simeq (G/H)/(K/H)$$

あることを用いると, (群同型定理に似ているが違う)

$$\text{SU}(2)/\text{U}(1) \simeq (\text{SU}(2)/\mathbb{Z}_2)/(\text{U}(1)/\mathbb{Z}_2) \simeq \text{SO}(3)/\text{SO}(2)$$

したがって,

$$S^3/S^1 \simeq \text{SU}(2)/\text{U}(1) \simeq \text{SO}(3)/\text{SO}(2) \simeq S^2$$

1,2重ベクトルが  
生成するスピン群  
(高次元化)

2重ベクトルが  
生成するスピン群

1,2重ベクトルに  
よる回転表現  
(高次元化)

2重ベクトルに  
よる回転表現

# まとめ

- 水素原子は高度な準位縮退があり，背後に隠れた対称性がある.
- 隠れた対称性は四次元回転対称性  $SO(4)$  である.
- 隠れた対称性を見出す手法として，  
1) コンパクト化（立体射影），2) 線形化（Hopf fibration）  
を紹介したが，いずれも高次元を経由する手法である.
- Clifford 代数は高次元を発想する機能を持つ.
- 立体射影の方は  $Cl_3$  の構造から説明できる.
- Hopf fibrationの方は  $Cl_2$  の構造から説明できる.